

НОВЫЕ ПОЛИНОМЫ УЗЛОВ*

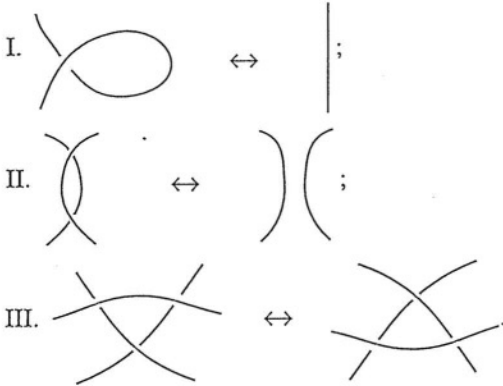
For some knots and links with respect to the regular isotopy, a new invariant is introduced which is a three-variable Laurent polynomial. The properties of this invariant are investigated.

Введено новий інваріант для деяких вузлів та зацеплень відносно регулярної ізоtopії, що є поліномом Лорана від трьох змінних, і досліджено його властивості.

В настоящей статье вводятся полиномы Лорана от трех переменных для некоторых узлов и зацеплений, являющиеся обобщением полиномов Кауффмана [1] и bracket-инвариантов [2]. Они не эквивалентны полиномам HOMFLY [3].

В первой части статьи определяется инвариант узлов и зацеплений при регулярной изотопии, называемый PR-полиномом. Инвариант при объемлемой изотопии получается из этого инварианта после некоторой нормализации. Во второй части описываются свойства PR-полиномов. Эти полиномы вычисляются для зацепления Хопфа и узлов 3_1 и 4_1 . В третьей части доказывается корректность определения PR-полиномов.

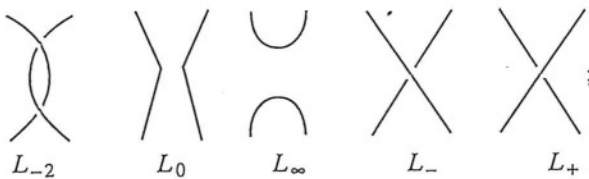
1. Основные определения. По теореме Рейдемейсера две диаграммы зацеплений будут объемлемо изотопными, если одну из другой можно получить последовательностью движений Рейдемейсера первого, второго и третьего типа и изотопии плоскости проектирования, где движения Рейдемейсера имеют вид:



Через $F = \mathbb{Z}[a^{\pm 1}, b^{\pm 1}, d^{\pm 1}]$ будем обозначать кольцо полиномов Лорана от трех переменных. Рассмотрим свободный модуль над кольцом F , которое порождено классами эквивалентности диаграмм узлов при регулярной изотопии (две диаграммы регулярно изотопны, если одну из другой можно получить с помощью движений Рейдемейсера второго и третьего типов и изотопии плоскости проектирования). Рассмотрим следующие отношения эквивалентности на пространстве V :

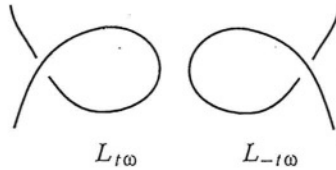
$$1) \quad L_{-2} \sim aL_0 + bL_{\infty} + cL_{-} + dL_{+},$$

где $c = -ad - b/d$ и диаграммы L_{-2} , L_0 , L_{∞} , L_{-} , L_{+} одинаковы за исключением окрестности точки, в которой они имеют вид



* Работа выполнена при частичной финансовой поддержке фонда INTAS, № 94-0921.

2) $L_{t\omega} \sim \lambda L$, $L_{-t\omega} \sim \lambda^{-1} L$, где $\lambda = d^3$,



Обозначим через W классы эквивалентности по этим отношениям V/\sim . Назовем зацепление хорошим, если его образ в W принадлежит $F\emptyset$, т. е. такое, для которого можно подсчитать PR-полином. Для таких зацеплений определим PR-полином. Это функция

$$PR: \{\text{неориентированная диаграмма зацепления}\} \rightarrow F = Z[a^\pm, b^\pm, d^\pm],$$

определенная аксиомами:

1) $PR(L_{-2}) = aPR(L_0) + bPR(L_\infty) + cPR(L_-) + dPR(L_+)$, где $b + cd + ad^2 = 0$;

2) $PR(L_{t\omega}) = \lambda PR(L)$, $PR(L_{-t\omega}) = \lambda^{-1} PR(L)$, где $\lambda = d^3$;

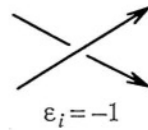
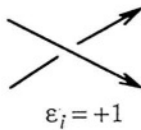
3) $PR(O) = 1$;

4) PR — инвариант при движениях Рейдемейсера второго и третьего типа.

В предложении, приведенном ниже, будет доказана корректность определения PR-полинома.

Обозначим через $\omega(D)$ вес ориентированной диаграммы узла. Вес узла равен алгебраической сумме всех пересечений в диаграмме узла, $\omega(D) = \sum_i \varepsilon_i$.

Здесь



Из работы [1] следует, что $pr(D) = \lambda^{-\omega(D)} PR(D)$ есть инвариантом узла при объемлемой изотопии.

2. Свойства и примеры вычислений. Свойства PR-полиномов устанавливаются в следующих утверждениях.

Лемма 1. Если $D \sqcup O$ обозначает несвязное объединение диаграммы D и диаграммы тривиального узла, то

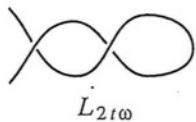
$$PR(D \sqcup O) = \delta PR(D),$$

где $\delta = (d^6 - a - cd^3 - 1/d^2)/b = d^2 + (ad^4 + d^6 - a - 1/d^2)/b$.

Доказательство. Из аксиомы 1 следует

$$PR(L_{2t\omega}) = aPR(L) + bPR(L \sqcup O) + \lambda cPR(L) + d/\lambda PR(L).$$

С другой стороны, $PR(L_{2t\omega}) = \lambda^2 PR(L)$ где



Таким образом, $PR(D \sqcup O) = \delta PR(D)$, где $\delta = (d^6 - a - cd^3 - 1/d^2)/b = d^2 + (ad^4 + d^6 - a - 1/d^2)/b$.

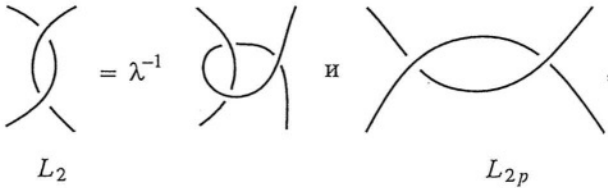
Лемма 2. Для диаграммы L_2 , полученной из диаграммы L_{-2} обращением пересечений, имеем

$$PR(L_2) = -c/dPR(L_0) - b/d^4PR(L_\infty) - a/dPR(L_+) + 1/dPR(L_-).$$

Действительно,

$$PR(L_2) = \lambda^{-1}(\lambda aPR(L_0) + bPR(L_+) + cPR(L_\infty) + dPR(L_{2p})),$$

где



$$PR(L_{2p}) = bPR(L_0) + aPR(L_\infty) + dPR(L_-) + cPR(L_+).$$

Используя то, что $b + cd + ad^2 = 0$, получаем

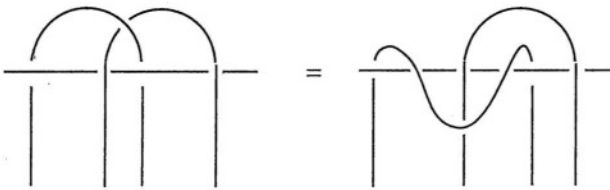
$$\begin{aligned} PR(L_2) &= \lambda^{-1}(\lambda aPR(L_0) + bPR(L_+) + cPR(L_\infty) + d(bPR(L_0) + \\ &\quad + aPR(L_\infty) + dPR(L_-) + cPR(L_+))) = \\ &= -c/dPR(L_0) - b/d^4PR(L_\infty) - a/dPR(L_-) + 1/dPR(L_+). \end{aligned}$$

Лемма 3. Если D — диаграмма узла, а $D!$ — ее зеркальный образ, то

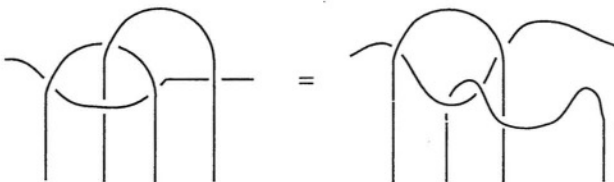
$$PR(D!)[a, b, c, d] = PR(D)[-c/d, -b/d^4, -a/d, 1/d].$$

Доказательство. Так как $D!$ получается из D заменой всех проходов на переходы и наоборот, то $L_{-2} \rightarrow L_2$, $L_0 \rightarrow L_0$, $L_\infty \rightarrow L_\infty$, $L_+ \rightarrow L_-$. Следовательно, вместо аксиомы 1 нужно использовать свойство 2, в котором L_+ в $D!$ заменяется на L_- в D , и L_- на L_+ .

Лемма 4. Следующая диаграмма может быть упрощена (по числу точек пересечения):



Доказательство. Воспользовавшись для последней диаграммы аксиомой 1 и свойством 2, получим сумму диаграмм, которые имеют меньшее количество точек пересечения, чем начальная диаграмма, за исключением следующей диаграммы:



Эта диаграмма также может быть упрощена с использованием свойства 2.

Лемма 5. Если произвести замены $a = -1 + z\alpha^{1/3}$, $b = z\alpha - z\alpha^{1/3}$, $c = z + \alpha^{1/3}$, $d = \alpha^{1/3}$ в PR-полиномах, мы получим $\Lambda(z, \alpha)$ -полиномы Кауффмана [1]. А если произвести замены $a = A^2$, $b = 1 + A^4$, $c = 1/A$, $d = -A$, то в PR-полиномах мы получим bracket-инварианты [2].

Доказательство. Λ -полином есть инвариант относительно регулярной изотопии, удовлетворяющий аксиомам:

- 1) $\Lambda(L_+) + \Lambda(L_-) = z(\Lambda(L_0) + \Lambda(L_\infty))$;
- 2) $\Lambda(L_{\omega}) = \alpha\Lambda(L)$.

Сравнивая аксиомы 2 для PR и Λ -полиномов, получаем $\alpha = \lambda = d^3$ и $d = \alpha^{1/3}$.

Если вместо аксиомы 1 для PR-полиномов воспользоваться аксиомой 1 для Λ -полиномов, то

$$\begin{aligned} PR(L_{-2}) &= -PR(L_0) + z(PR(L_-) + \lambda PR(L_\infty)) = \\ &= aPR(L_0) + bPR(L_\infty) + cPR(L_-) + dPR(L_+). \end{aligned}$$

Для того чтобы получить Λ -полиномы из PR-полиномов, коэффициенты при $PR(L_+)$, $PR(L_-)$, $PR(L_0)$, $PR(L_\infty)$ в последнем соотношении должны быть пропорциональны коэффициентам при $\Lambda(L_+)$, $\Lambda(L_-)$, $\Lambda(L_0)$, $\Lambda(L_\infty)$ в аксиоме 1 для Λ -полиномов:

$$d = c - z = -(a + 1)/z = -(b - \alpha z)/z.$$

Тогда $a = -1 - z\alpha^{1/3}$, $b = z\alpha - z\alpha^{1/3}$, $c = z + \alpha^{1/3}$, $d = \alpha^{1/3}$.

Доказательство того, что PR-полином есть обобщение bracket-инварианта, аналогично.

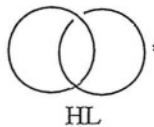
Используя свойство 1, можно получить следующее утверждение.

Лемма 6. Если D_1 и D_2 — хорошие диаграммы, $D_1 + D_2$ — их связное объединение и $D_1 \sqcup D_2$ — их несвязное объединение, то

$$\begin{aligned} PR(D_1 + D_2) &= PR(D_1) \cdot PR(D_2), \\ PR(D_1 \sqcup D_2) &= \delta PR(D_1) \cdot PR(D_2), \end{aligned}$$

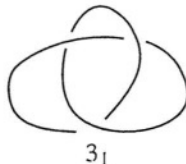
Воспользовавшись леммами 1, 2, 4 и аксиомами для PR-полиномов, можно упростить любую диаграмму, которая имеет менее 10 точек пересечения, так как каждая такая диаграмма содержит фрагмент, являющийся левой частью этих свойств и аксиом (см. таблицы узлов в [4] или [5]). Таким образом, все такие узлы и зацепления хорошие.

Примеры вычислений. 1) Для зацепления Хопфа HL:



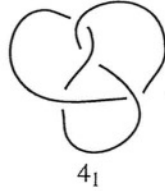
$$\begin{aligned} PR(HL) &= a\delta + b + c/\lambda + d\lambda = (1 - 1/d^4)b + \\ &+ (d^4 + ad^2 - a/d^2) + (ad^6 + a^2d^4 - a^2 - a/d^2)/b. \end{aligned}$$

2) Для трилистника 3_1 :



$$\text{PR}(3_1) = a/\lambda + b\lambda + c\text{PR}(HL) + \delta d = (1/d - 1/d^5)b^2 + 2(d^3 - a/d^3)b + d^3 + (ad^5 + d^7 - ad - 1/d)(1 - a^2)/b.$$

3) Для узла 4_1 :



$$\text{PR}(4_1) = a/\lambda^2 + b\text{PR}(HL) + c\text{PR}(3_1) + d\lambda.$$

3. Корректность определения PR-полиномов.

Предложение. PR-полином корректно определен.

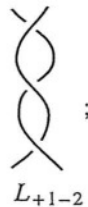
Доказательство проведем по аналогии с доказательством корректности определения полиномов Кауффмана в [1]. Пусть имеем два упрощения одной и той же диаграммы D с помощью аксиом для PR-полиномов и движений Рейдемейсера (можно применять и свойства, следующие из них). Покажем, что из первого упрощения можно получить второе, меняя порядок упрощений фрагментов диаграмм и способы упрощения одного фрагмента таким образом, что при каждой замене результаты упрощений (суммы диаграмм с коэффициентами в V) будут одинаковы. Сначала проводим замены так, чтобы фрагмент, который упрощается первым во втором способе, упрощался первым и в первом (после замен). Второй — вторым и т. д. Если точки пересечения из фрагмента, который упрощается первым во втором способе, упрощаются в первом способе на k -м шагу, то покажем, что, заменяя порядок упрощений, их можно упростить на $k-1$ -м шагу, $k-2$ -м шагу и т. д. Если части диаграмм, которые упрощаются, не имеют общих точек, то последовательность упрощений может быть произвольной. Проверим идентичность результатов упрощения для частей диаграмм, имеющих общие точки:

а) Для аксиомы 1 и второго движения Рейдемейсера.

Используя второе движение Рейдемейсера $\text{PR}(L_{+1-2}) = \text{PR}(L_-)$, а также аксиому 1 и свойство 2, получаем

$$\begin{aligned} \text{PR}(L_{+1-2}) &= a\text{PR}(L_+) + b/\lambda\text{PR}(L_\infty) + c\text{PR}(L_0) + d\text{PR}(L_2) = \\ &= a\text{PR}(L_+) + b/\lambda\text{PR}(L_\infty) + c\text{PR}(L_0) + \\ &+ d(-c/d\text{PR}(L_0) - b/d^4\text{PR}(L_\infty) - a/d\text{PR}(L_-) + 1/d\text{PR}(L_+)) = \text{PR}(L_-). \end{aligned}$$

Здесь



б) Для аксиомы 1 и третьего движения Рейдемейсера.

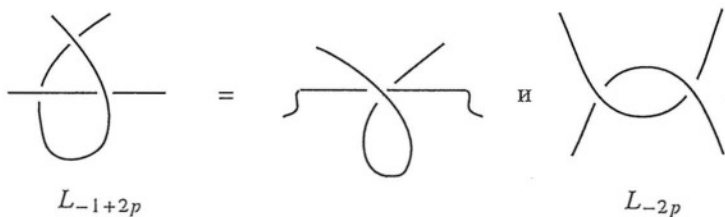
Дважды используя аксиому 1, получаем

$$\begin{aligned} \text{PR}(L_{-1+2p}) &= ad^3\text{PR}(L_\infty) + b\text{PR}(L_-) + c\text{PR}(L_0) + d\text{PR}(L_{-2}) = \\ &= (c + ad)\text{PR}(L_0) + (bd + ad^3)\text{PR}(L_\infty) + (b + cd)\text{PR}(L_-) + d^2\text{PR}(L_+). \end{aligned}$$

С другой стороны, используя третье движение Рейдемейсера и свойство 2, имеем

$$\begin{aligned} \text{PR}(L_{-1+2p}) &= \lambda \text{PR}(L_{-2p}) = \\ &= -b/d \text{PR}(L_0) - cd^2 \text{PR}(L_\infty) - ad^2 \text{PR}(L_-) + d^2 \text{PR}(L_+), \end{aligned}$$

где



Так как $b + cd + ad^2 = 0$, то результаты упрощений равны.

Для других фрагментов диаграмм равенство результатов упрощений очевидно.

Теперь предположим, что две диаграммы регулярно изотопны. Тогда одна из другой может быть получена с помощью последовательности вторых и третьих движений Рейдемейсера. Второе движение есть упрощение диаграммы и рассмотрено выше. Если мы используем третье движение Рейдемейсера, а затем упрощаем диаграмму в этих точках с помощью аксиомы 2, то мы можем упростить эту диаграмму без третьего движения Рейдемейсера, как это делалось в п. б). Если мы используем третье движение Рейдемейсера, аксиому 1 или аксиому 2; а затем третье движение Рейдемейсера для следующего фрагмента диаграммы:



то результаты упрощений будут равны. Легко проверить, что результаты упрощений будут одинаковы для диаграмм, которые имеют фрагмент L_{-2} или левую часть второго движения Рейдемейсера вместо L_2 в последней диаграмме.

Если мы имеем две регулярно изотопные диаграммы, то можно рассматривать их как различные упрощения (или диаграммы, которые получаются с помощью движений, не увеличивающих количество точек пересечения) некоторой диаграммы. Используя результаты, полученные выше, заключаем, что их PR-полиномы равны.

1. Kauffman L. H. An invariant of regular isotopy // Trans. AMS. – 1990. – 318, № 2. – P. 417–471.
2. Kauffman L. H. State models and the Jones polynomial // Topology. – 1987. – 26, – P. 395–407.
3. Freyd P., Yetter D., Hoste J. etc. A new polynomial invariant of knots and links // Bull. Amer. Math. Soc. – 1985, 12. – P. 239–246.
4. Reidemeister K. Knotentheorie. – New York: Chelsea, 1948. – 320 p.
5. Kauffman L. H. On knots // Ann. Math. Stud. – 1987. – 115. – 480 p.

Получено 25.01.96